

# 高感度・高分解能「共鳴 X 線非弾性散乱」測定による、新しい「X 線吸収」分光

(東北大多元研、科学技術振興機構 さきがけ) 林 久史

'Next-generation' x-ray absorption spectra obtained by high-resolution resonant inelastic x-ray scattering measurements with high-sensitivity

Hisashi Hayashi<sup>1,2</sup>

<sup>1</sup>IMRAM, Tohoku University, Katahira, Sendai, 980-8577, JAPAN

<sup>2</sup>PRESTO, JST, 4-1-8, Honcho Kawaguchi, Saitama, 332-0012, JAPAN

## はじめに

吸収端近傍のエネルギーで励起した時に観測される発光X線(共鳴X線非弾性散乱:RIXS)は、通常の蛍光X線とは異なり、空準位の状態密度を反映した複雑なスペクトルを示す。これを二次光学過程の基本式を用いて解析すれば、発光X線の種類に応じて、様々なタイプの新しいX線吸収微細構造(XAFS)を導出できる。<sup>1)</sup> 図1にいくつかの蛍光X線放出のダイアグラムを示す。1sや2pなど、内殻間の電子遷移に伴う発光( $K\alpha$ )では、発光プロファイルは、両方の内殻寿命に対応する巾をもつローレンツ関数で表せる。吸収端より低いエネルギーで励起すると、線幅は1sの寿命幅 $\Gamma_{1s}$ で制限されなくなり、そこから $\Gamma_{1s}$ の影響を受けない高分解能XAFS(寿命幅フリーXAFS)を導出できる。<sup>1,2)</sup>一方、遷移金属の $K\beta$ のような、外殻電子の遷移に伴う発光では、様々な要因によってスペクトルが分裂する。分裂の由来を特定できれば、スピンの向き<sup>1)</sup>や化学状態を選別したXAFS<sup>3,4)</sup>(状態選別XAFS)が導出できる。

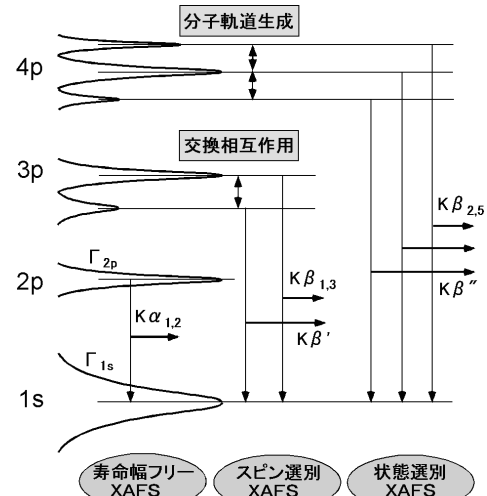


図1 蛍光X線の概念図と各種XAFSとの対応

## 高感度・高分解能X線発光分光器

こうした新しいXAFSの観測は、「強度の弱いRIXSを、いかに高分解能かつ高感度で測定するか」に全てが、かかっている。この要件を満たすためには、第三世代放射光の利用が必須だが、それだけでは不十分で、特別なX線発光分光器を用いる必要がある。例として図2に、我々が製作した分光器の例を示す。<sup>1,5)</sup> この分光器では、5枚の円筒面湾曲結晶を擬似的なローランド円上に置き、およそ同じエネルギー範囲の発光X線を縦方向に集光、横方向に分散させる。個々の結晶で分光されたX線を2次元PSPC上で画像として検出し、エネルギー更正後に加算することで、通常の1結晶分光器の5倍の感度でスペクトルを取得できる。本発表で示すスペクトルの大半は、この分光器で得られたものである。

## 超伝導材料( $\text{La}_{2-x}\text{Sr}_x\text{CuO}_4$ )の寿命幅フリーXAFS

寿命幅フリーXAFSの例として、図3に超伝導物質 $\text{La}_{2-x}\text{Sr}_x\text{CuO}_4$ 単結晶の、 $\text{CuO}_2$ 面内方向

に対する偏光・寿命幅フリーXAFSの結果を示す。<sup>6)</sup> Pと記した1s-3dプリエッジ領域に明確な構造があるが、これは通常法では寿命幅の裾に覆われて、ほとんど見えない。興味深いことにこのバンドは、超伝導を起こす最適ドープ条件( $x=0.15$ )でのみ、非常にブロードになっている。これは、高温超伝導を理解する鍵のひとつになるかもしれない。今後の展開に期待したい。

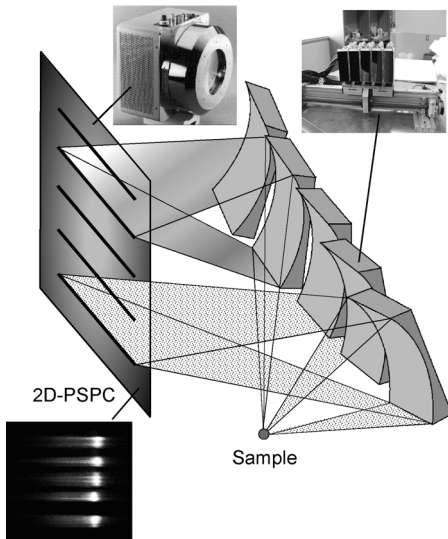


図2 高感度・高分解能X線発光  
分光器概念図<sup>5)</sup>

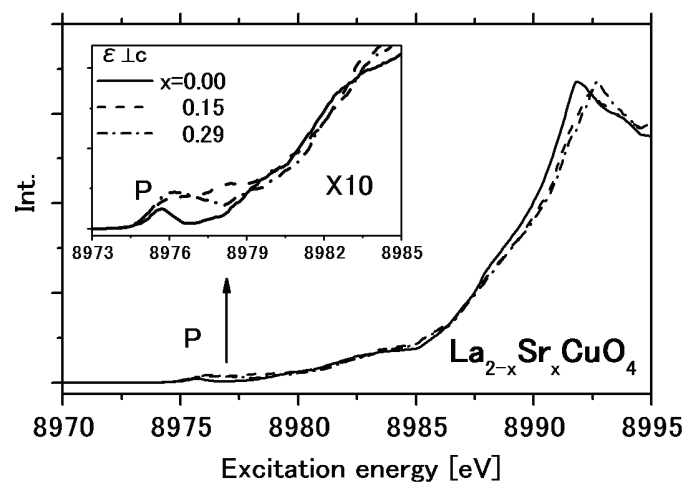


図3  $\text{La}_{2-x}\text{Sr}_x\text{CuO}_4$  の偏光・寿命幅フリーXAFS<sup>6)</sup>

**混合原子価化合物( $\text{GaCl}_2$ )の価数選別XAFS**  
図4に、 $\text{GaCl}_2$ の $K\beta_2$ 領域のRIXSから導出したXAFS<sup>4)</sup>を、通常のXAFSとあわせて示す。 $\text{GaCl}_2$ は1価と3価の混合原子価化合物で、通常XAFSでは、 $\text{Ga}^+$ と $\text{Ga}^{3+}$ の寄与が、吸収端近傍の別々のピークとして現れる。一方、 $K\beta_2$ -RIXSから導出したXAFS(寿命幅フリーのため構造がシャープになっている)では、1価対応の成分がほとんどなく、その3価選択性を明瞭に示している。詳細は当日議論したい。

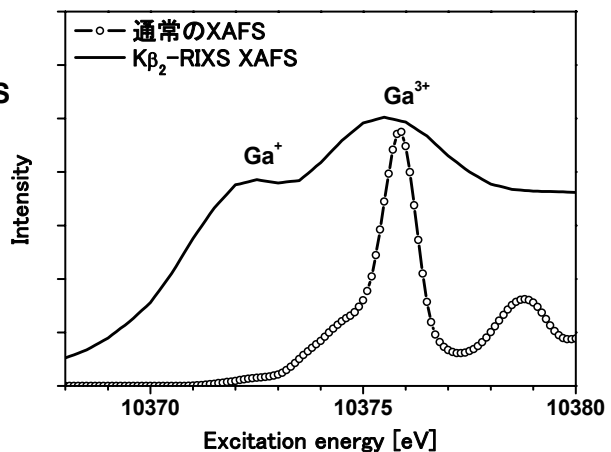


図4  $\text{GaCl}_2$  の価数選別・寿命幅フリーXAFS<sup>4)</sup>

## おわりに

RIXSを利用した新しいXAFS分光は、今や応用段階に突入した。今後、実験面ではより低濃度の試料を測定できるような分光器の開発、理論面では RIXS と新しい XAFS との関係を検討しつつ、新しい XAFS を解析する枠組みを確立することが重要になろう。

1) 林 久史, 分光研究 **53**, 283 (2004).

5) H. Hayashi et al, J. Electron Spectrosc. Relat.

2) H. Hayashi et al. Phys. Rev. B **68**, 45122 (2003).

Phenom. **136**, 191.

3) H. Hayashi et al, J. Phys. Chem. Solids **66**, 2168 (2005). 6) H. Hayashi et al, Rad. Phys. Chem. (in press).

4) 林 久史等, X線分析の進歩 **37**, (in press).